



# 第八章 角度调制与解调

## 8.1 调角波的基本性质

## 8.2 调频信号通过非线性电路

## 8.3 调频信号通过线性网络

## 8.4 调频波的产生

## 8.5 鉴频

# 8.1 调角波的基本性质



中国科学技术大学  
University of Science and Technology of China

正弦载波的一般形式

$$u(t) = U \cos(\omega t + \varphi_0) = U \cos \varphi(t)$$

角度调制 { 调频 (FM) : 用基带信号线性地控制高频正弦载波的瞬时频率  
                  { 调相 (PM) : 用基带信号线性地控制高频正弦载波的瞬时相位

频谱非线性变换电路:

角度调制用低频信号去调制高频振荡的相角, 其解调电路从已调波中解出调制信号, 频谱变换不是线性变换而是非线性变换。角度调制及调角波的解调电路称为频谱非线性变换电路。

## 8.1.1 瞬时相位和瞬时频率

$\varphi(t)$ -总相角, 即瞬时相位

$\omega(t)$ -瞬时频率

$$\begin{cases} \varphi(t) = \int_0^t \omega(\tau) d\tau + \varphi_0 & \omega(t) \text{ 为常数} \\ \omega(t) = \frac{d\varphi(t)}{dt} & = \omega t + \varphi_0 \end{cases}$$

正弦载波的另一形式

$$u(t) = U \cos(\omega t + \varphi_0) = U \cos\left[\int_0^t \omega(\tau) d\tau + \varphi_0\right]$$

# 8.1 调角波的基本性质



中国科学技术大学  
University of Science and Technology of China

## 8.1.2 调相波和调频波

### 1. 调相波

设:  $u(t) = U \cos \omega_0 t$ ,  $u_\Omega(t) = U_\Omega s(t)$

调相波表达式:  $u_{PM} = U_{PM} \cos[\omega_0 t + k_p U_\Omega s(t)]$

$k_p$  – 调相增益, 表示单位电压引起的相位变化。

相位与基带信号成线性关系:

$$\varphi(t) = \omega_0 t + k_p U_\Omega s(t) = \omega_0 t + m_p s(t) = \omega_0 t + \Delta\varphi(t)$$

$m_p = k_p U_\Omega$  – 调相指数,  $\omega_0$  – 调相波中心频率。

表示基带信号引起的最大相移, 与  $U_\Omega$  成正比, 但与调制频率无关。

$\therefore$  调相波可表示为:  $u_{PM} = U_{PM} \cos[\omega_0 t + m_p s(t)]$

当  $s(t) = \cos \Omega_{\max} t$ , 有:  $u_{PM}(t) = U_{PM} \cos[\omega_0 t + m_p \cos \Omega_{\max} t]$

# 8.1 调角波的基本性质



中国科学技术大学  
University of Science and Technology of China

2. 调频波 设:  $u(t) = U \cos \omega_0 t$ ,  $u_{\Omega}(t) = U_{\Omega} s(t)$

瞬时频率变化量与调制信号成正比, 即有

$$\omega(t) = \omega_0 + k_f U_{\Omega} s(t) = \omega_0 + \Delta\omega s(t)$$

$k_f$  – 调频增益, 表示单位电压引起的频率变化

$\omega_0$  – 调频波中心频率

$\Delta\omega = k_f U_{\Omega}$  – 最大频率偏移, 其值与  $U_{\Omega}$ , 但与调制频率无关

$$D = \frac{\Delta\omega}{\omega_0} - \text{相对频偏 (很小)}$$

调频波表达式 
$$u_{FM}(t) = U_{FM} \cos \left\{ \int_0^t [\omega_0 + \Delta\omega s(\tau)] d\tau \right\} = U_{FM} \cos [\omega_0 t + \Delta\omega \int_0^t s(\tau) d\tau]$$

# 8.1 调角波的基本性质



中国科学技术大学  
University of Science and Technology of China

## 2. 调频波

当  $s(t) = \cos \Omega_{\max} t$  时, 有:

$$\begin{aligned} u_{FM}(t) &= U_{FM} \cos[\omega_0 t + \Delta\omega \int_0^t \cos \Omega_{\max} \tau d\tau] \\ &= U_{FM} \cos[\omega_0 t + \frac{\Delta\omega}{\Omega_{\max}} \sin \Omega_{\max} t] \\ &= U_{FM} \cos[\omega_0 t + m_f \sin \Omega_{\max} t] \end{aligned}$$

$m_f = \frac{\Delta\omega}{\Omega_{\max}}$  — 调频指数, 表示由基带信号引起的最大相移,

注:  $m_p$ ,  $m_f$  均为基带信号引起的最大相移

$m_p = k_p U_{\Omega}$ , 其值与  $U_{\Omega}$  成正比, 与调制频率  $\Omega_{\max}$  无关

$m_f = \frac{\Delta\omega}{\Omega_{\max}} = \frac{k_f U_{\Omega}}{\Omega_{\max}}$ , 其值与  $U_{\Omega}$  成正比, 与  $\Omega_{\max}$  成反比

# 8.1 调角波的基本性质



## 3. FM与PM的比较

设:  $s(t) = \cos \Omega_{\max} t$

FM

表达式

$$U_{FM} \cos[\omega_0 t + m_f \sin \Omega_{\max} t]$$

$\omega(t)$

$$\omega_0 + m_f \Omega_{\max} \cos \Omega_{\max} t$$

$\varphi(t)$

$$\omega_0 t + m_f \sin \Omega_{\max} t$$

$\Delta\omega$

$$m_f \Omega_{\max} = k_f U_{\Omega}$$

调制指数

$$m_f = k_f U_{\Omega} / \Omega_{\max}$$

PM

$$U_{PM} \cos[\omega_0 t + m_p \cos \Omega_{\max} t]$$

$$\omega_0 - m_p \Omega_{\max} \sin \Omega_{\max} t$$

$$\omega_0 t + m_p \cos \Omega_{\max} t$$

$$m_p \Omega_{\max}$$

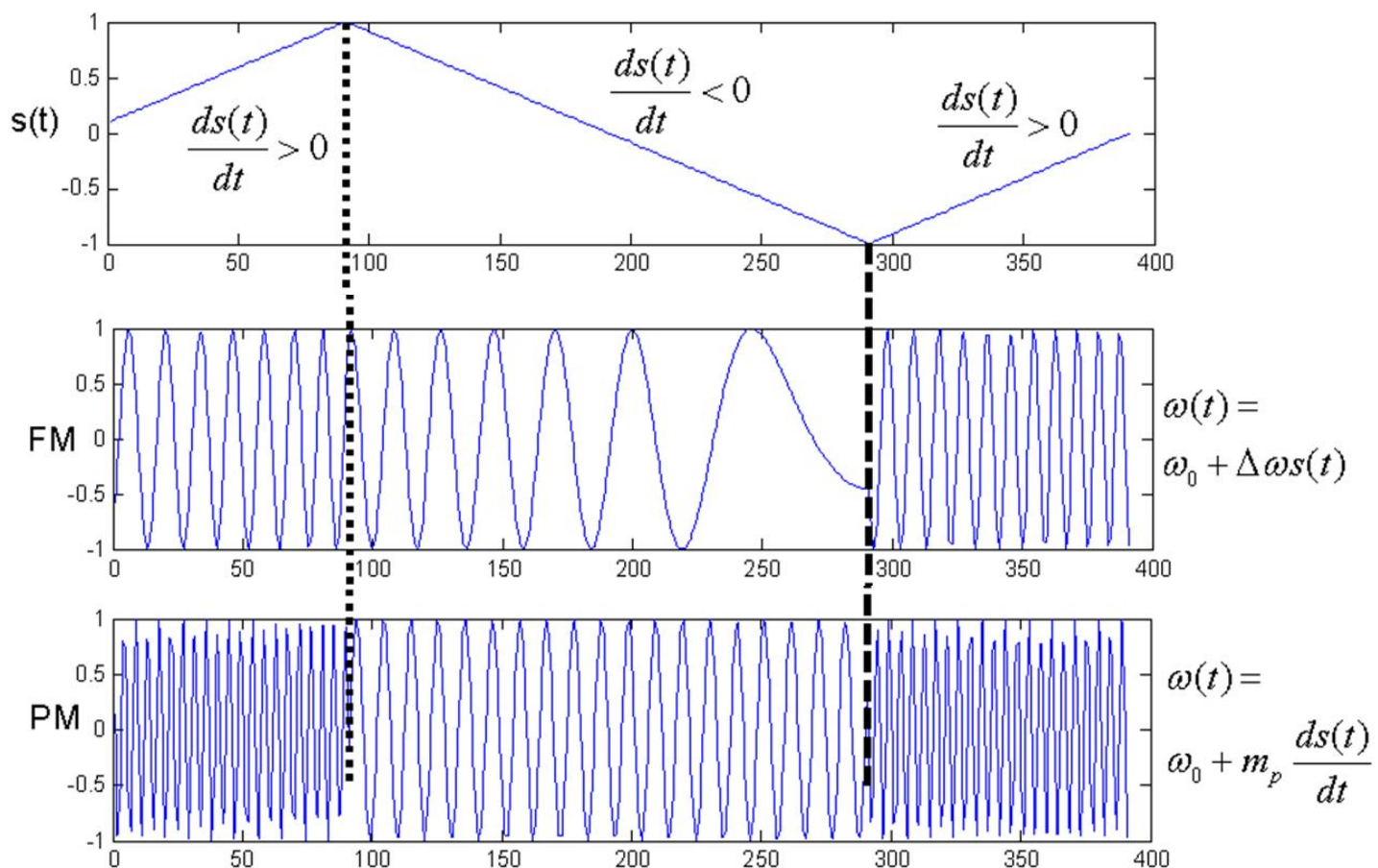
$$m_p = k_p U_{\Omega}$$

# 8.1 调角波的基本性质



## 波形

FM与PM波形差别很小，仅当基带信号为一些特殊的信号时，才能明显区分出这两种波形，信息包含在疏密变化里面，占有的频带越窄越好。



FM:  $s(t)$  越大，频率越高； PM:  $\frac{ds(t)}{dt}$  越大，频率越高。



# 8.1 调角波的基本性质



中国科学技术大学  
University of Science and Technology of China

## 8.1.3 调频波的频谱

设:  $s(t) = \cos \Omega_{\max} t$

$$u_{FM}(t) = U_{FM} \cos[\omega_0 t + \Delta\omega \int_0^t \cos \Omega_{\max} \tau d\tau]$$

$$= U_{FM} \cos[\omega_0 t + m_f \sin \Omega_{\max} t]$$

$$= U_{FM} \cos \omega_0 t \cos(m_f \sin \Omega_{\max} t) - U_{FM} \sin \omega_0 t \sin(m_f \sin \Omega_{\max} t)$$

$\cos(m_f \sin \Omega_{\max} t)$  和  $\sin(m_f \sin \Omega_{\max} t)$  为周期性函数, 可展开成傅里叶级数

$$\cos(m_f \sin \Omega_{\max} t) = J_0(m_f) + 2 \sum_{n=1}^{\infty} J_{2n}(m_f) \cos 2n\Omega_{\max} t - \text{只含偶次项}$$

$$\sin(m_f \sin \Omega_{\max} t) = 2 \sum_{n=0}^{\infty} J_{2n+1}(m_f) \sin(2n+1)\Omega_{\max} t - \text{只含奇次项}$$

$J_n(m_f)$  - 以  $m_f$  为变量的  $n$  阶第一类Bessel函数, 随  $m_f$  变化曲线如教材中图 8.1.2所示, 每一阶谱线都成衰减趋势, 并满足以下关系式。



# 8.1 调角波的基本性质

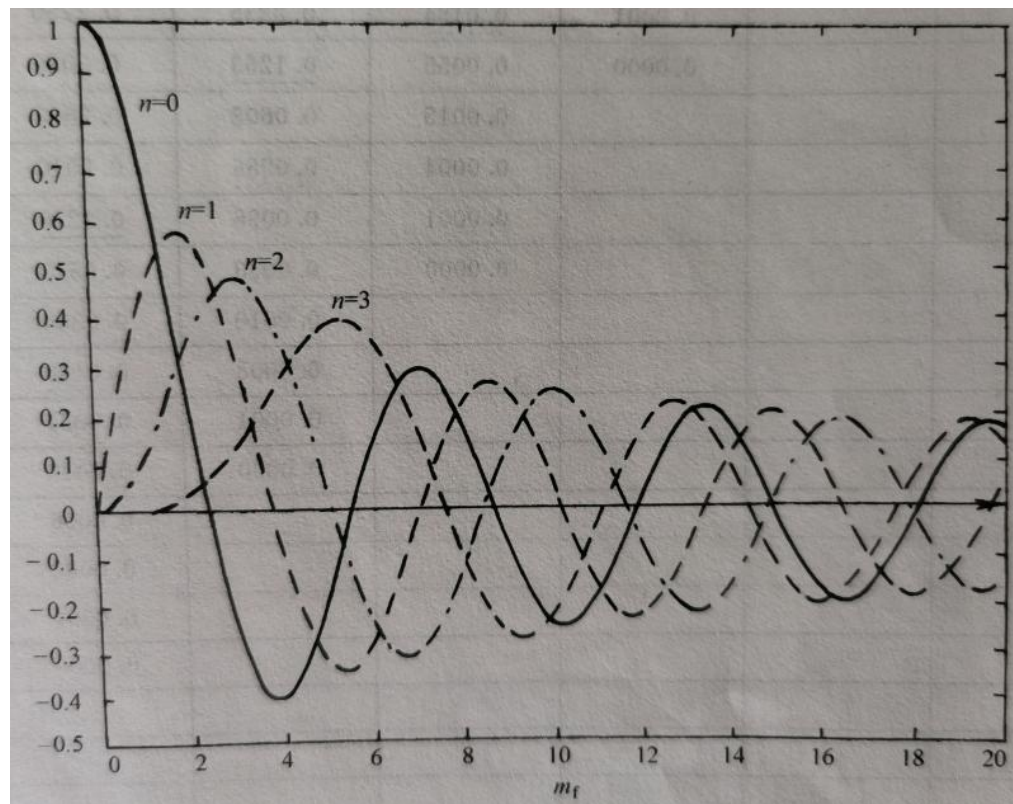
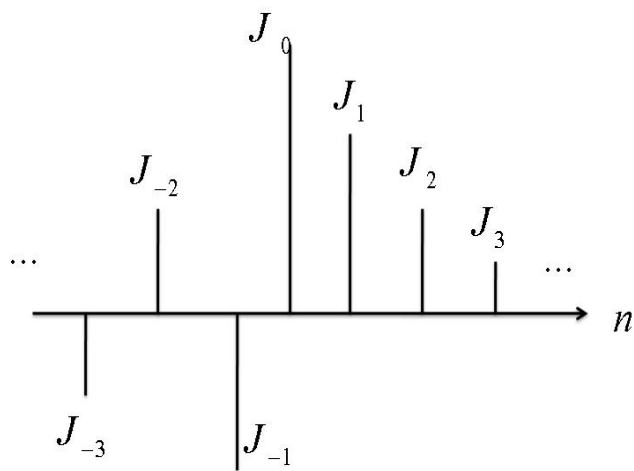


中国科学技术大学  
University of Science and Technology of China

$J_n(m_f)$  — 以  $m_f$  为变量的  $n$  阶第一类Bessel函数，随  $m_f$  变化曲线如教材中图 8.1.2所示，每一阶谱线都成衰减趋势，并满足以下关系式。

$$J_n(m_f) = \begin{cases} J_{-n}(m_f) & n \text{ 为偶数时} \\ -J_{-n}(m_f) & n \text{ 为奇数时} \end{cases}$$

$$\text{即 } J_{-n}(m_f) = (-1)^n J_n(m_f)$$



# 8.1 调角波的基本性质



$$J_n(m_f) = \begin{cases} J_{-n}(m_f) & n \text{ 为偶数时} \\ -J_{-n}(m_f) & n \text{ 为奇数时} \end{cases}$$

即  $J_{-n}(m_f) = (-1)^n J_n(m_f)$

$$\begin{aligned} u_{FM} &= U_{FM} \cos \omega_0 t [J_0(m_f) + 2 \sum_{n=1}^{\infty} J_{2n}(m_f) \cos 2n\Omega_{\max} t] - U_{FM} \sin \omega_0 t [2 \sum_{n=0}^{\infty} J_{2n+1}(m_f) \sin(2n+1)\Omega_{\max} t] \\ &= U_{FM} [J_0(m_f) \cos \omega_0 t + \underbrace{\sum_{n=1}^{\infty} J_{2n}(m_f) \cos(\omega_0 + 2n\Omega_{\max})t}_{\text{pink line}} + \underbrace{\sum_{n=1}^{\infty} J_{2n}(m_f) \cos(\omega_0 - 2n\Omega_{\max})t}_{\text{blue arrow}} \\ &\quad + \underbrace{\sum_{n=0}^{\infty} J_{2n+1}(m_f) \cos(\omega_0 + (2n+1)\Omega_{\max})t}_{\text{pink line}} - \underbrace{\sum_{n=0}^{\infty} J_{2n+1}(m_f) \cos(\omega_0 - (2n+1)\Omega_{\max})t}_{\text{blue arrow}}] \\ &= U_{FM} [J_0(m_f) \cos \omega_0 t + \underbrace{\sum_{n=1}^{\infty} J_n(m_f) \cos(\omega_0 + n\Omega_{\max})t}_{\text{pink line}} + \underbrace{\sum_{n=-1}^{-\infty} J_{2n}(m_f) \cos(\omega_0 + 2n\Omega_{\max})t}_{\text{green line}} \\ &\quad + \underbrace{\sum_{n=-1}^{-\infty} J_{2n+1}(m_f) \cos(\omega_0 + (2n+1)\Omega_{\max})t}_{\text{green line}}] \\ &= U_{FM} [J_0(m_f) \cos \omega_0 t + \sum_{n=1}^{\infty} J_n(m_f) \cos(\omega_0 + n\Omega_{\max})t + \sum_{n=-\infty}^{-1} J_n(m_f) \cos(\omega_0 + n\Omega_{\max})t] \\ &= U_{FM} \sum_{n=-\infty}^{\infty} J_n(m_f) \cos(\omega_0 + n\Omega_{\max})t \end{aligned}$$

# 8.1 调角波的基本性质



中国科学技术大学  
University of Science and Technology of China

单音频调制时，调频波的频谱不是调制信号频谱的简单搬移，而是由载波分量和无数边频分量所组成。理论上来说，包含无限多对频率分量，即频谱宽度无穷大。

特点：①  $n$  为奇数时，上、下两边频分量振幅相等，极性相反；

②  $n$  为偶数时，上、下两边频分量振幅相等，极性相同；

③ 载波分量和边频分量的振幅均随  $m_f$  和调制角频率  $\Omega_{\max}$  变化。

④ 当  $m_f$  一定时，随着  $n$  的增加， $J_n(m_f)$  的数值虽有起伏，但总的趋势减小，当  $m_f$  到一定值后，边频分量可忽略。

1. 工程上通常规定，凡是振幅小于未调制载波振幅的10%（或1%）的边频分量忽略不计，按以下原则确定调频波的带宽。

(1) 给定  $\varepsilon$ ，记  $J_n(m_f) \geq \varepsilon$  的边频数为  $N_\varepsilon(m_f)$ ，则有：

$$BW = 2N_\varepsilon(m_f)\Omega_{\max} \quad \text{或} \quad BW = 2N_\varepsilon(m_f)f_{\max}$$

一般取  $\varepsilon = 0.1$ ，要求较高的取0.01。

# 8.1 调角波的基本性质



中国科学技术大学  
University of Science and Technology of China

(2) 卡松 (Carson) 公式

$$BW_{CR} = 2(m_f + 1)\Omega_{\max}$$

$$m_f = \frac{\Delta\omega}{\Omega_{\max}} \Rightarrow BW_{CR} = 2(\Delta\omega + \Omega_{\max})$$

小频偏 ( $m_f \ll 1$ ) 时:  $BW_{CR} \approx 2\Omega_{\max}$  — 窄带调制

大频偏 ( $m_f \gg 1$ ) 时:  $BW_{CR} \approx 2m_f\Omega_{\max} = 2\Delta\omega = 2k_f U_{\Omega}$  — 宽带调制

利用卡松公式估算调相波带宽:

宽带调制带宽仅取决于频偏 (频偏是规定的), 与调制频率无关。

$$BW_{CR} = 2(m_p + 1)\Omega_{\max}$$

两种方法估算的调频波带宽比较

$f_{\max}(\text{kHz})$	$m_f$	$N_{0.01}$	$N_{0.1}$	$BW_{0.01}(\text{kHz})$	$BW_{0.1}(\text{kHz})$	$BW_{CR}(\text{kHz})$
15	5	8	6	240	180	180
10	7.5	11	8	220	160	170
1	75	75	75	150	150	150
0.05	1500	1500	1500	150	150	150

# 8.1 调角波的基本性质



中国科学技术大学  
University of Science and Technology of China

## 2. 调频 (FM) 和调相 (PM) 带宽比较

①调相波为变带宽  $BW_{CR} = 2(m_p + 1)\Omega_{\max} = 2(k_p U_{\Omega} + 1)\Omega_{\max}$

$m_p$  一定时, BW与调制频率有关,  $\Omega_{\max}$  越高, BW越大。如果按照最高调制频率设计带宽, 则当调制频率越低时, 带宽的利用不充分。

②调频波为恒带宽。其带宽与调制信号关系不大。

$$m_f = \frac{\Delta\omega}{\Omega_{\max}} \quad \Omega_{\max} \text{ 提高, } m_f \text{ 减小}$$

$$BW_{CR} = 2(m_f + 1)\Omega_{\max} = 2\Delta\omega + 2\Omega_{\max} \stackrel{m_f \gg 1}{=} 2\Delta\omega$$

因此, 在模拟通信系统中, 总采用调频而不采用调相。

# 8.1 调角波的基本性质



中国科学技术大学  
University of Science and Technology of China

## 8.1.4 调频波的功率 调频波的平均功率为各个频率分量的功率之和。

在单位电阻上每个频率分量的功率：

$$\begin{aligned} & \frac{1}{T} \int_0^T U_{FM}^2 J_n^2(m_f) \cos^2(\omega_0 + n\Omega_{\max}) t dt \\ &= \frac{U_{FM}^2}{T} J_n^2(m_f) \int_0^T \frac{1 + \cos 2(\omega_0 + n\Omega_{\max}) t}{2} dt = \frac{U_{FM}^2}{2} J_n^2(m_f) \\ \therefore P_{FM} &= \sum_{N=-\infty}^{\infty} \frac{U_{FM}^2}{2} J_n^2(m_f) = \frac{U_{FM}^2}{2} \sum_{N=-\infty}^{\infty} J_n^2(m_f) = \frac{U_{FM}^2}{2} \end{aligned}$$

当  $U_{FM}$  一定时，不论  $m_f$  为何值，调频波的平均功率等于载波功率，或者说调频后载波功率“转移”给了边带，改变  $m_f$  仅会引起载波分量和各边频分量之间功率的重新分配，但不会引起总功率的变化。如果选择特殊的  $m_f$  值，使  $J_0(m_f) = 0$ ，则已调波中载波成分的功率为0，全部功率都转移给了边带，相当于大大提高了功率利用系数。

$J_0(m_f)$  出现0值的次数

	1	2	3	4	5	6	7	8	9	10
$m_f$	2.405	5.52	8.653	11.79	14.93	18.07	21.21	24.35	27.49	30.63

# 8.1 调角波的基本性质



中国科学技术大学  
University of Science and Technology of China

- 作业：8.1, 8.2, 8.4